



651

# MELANOMA METASTÁSICO CON LESIONES SECUNDARIAS INFRECUEENTES

Adriana CARPINETI, Andrés Esteban Saez,  
Carolina Alzaibal, Andres Julian Vanrell

No existe conflicto de interés por parte de los autores  
[lilicarpineti@gmail.com](mailto:lilicarpineti@gmail.com)

# CASO CLÍNICO

Mujer de 56 años con diagnóstico de melanoma acral lentiginoso invasivo del segundo dedo del pie izquierdo, consulta por un cuadro de dolor en hipocondrio derecho, lumbalgia y masa palpable inguinal izquierda de 2 meses de evolución.

SE REALIZA TC DE ABDOMEN Y PELVIS CON CONTRASTE EV.

SE DETALLAN LOS HALLAZGOS DEL ESTUDIO Y SE CLASIFICAN EN FRECUENTES E INFRECUENTES EN ESTA ENTIDAD.

# HALLAZGOS FRECUENTES EN MELANOMA

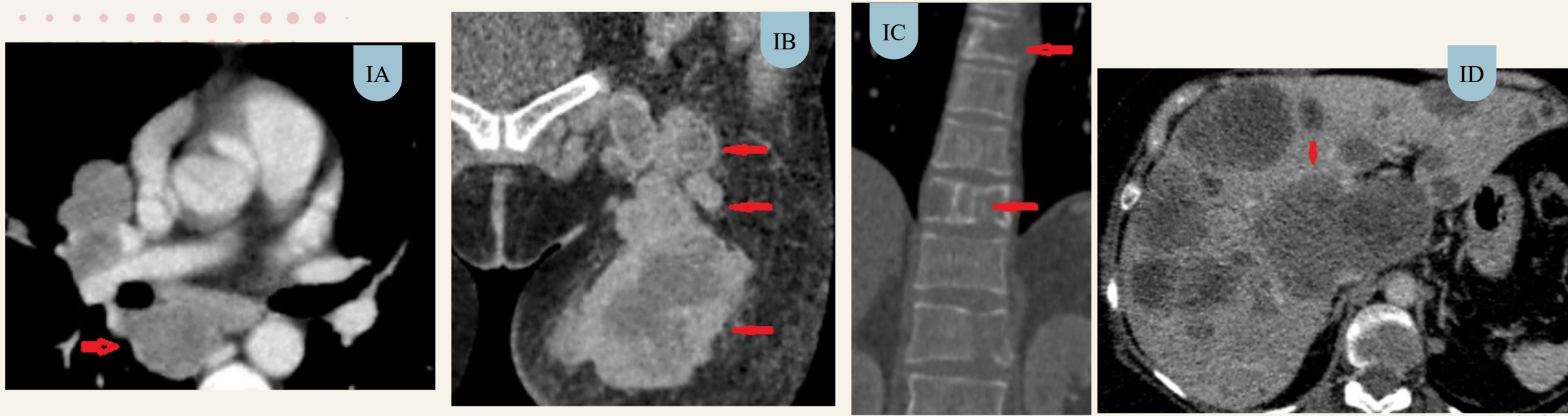


Figura 1: TC de tórax, abdomen y pelvis con contraste EV.

**IA** Se observan múltiples adenomegalias de aspecto necrótico a nivel mediastinal (flecha).

**IB** Se visualizan múltiples adenomegalias agrupadas de centro necrótico (flechas) en la región inguinal y muslo izquierdo (tributarios de la lesión del pie izquierdo).

**IC** Múltiples lesiones líticas en la columna (flechas).

**ID** Se observan múltiples lesiones hepáticas nodulares solidas e hipovasculares (flechas).

# HALLAZGOS INFRECUINTES EN MELANOMA

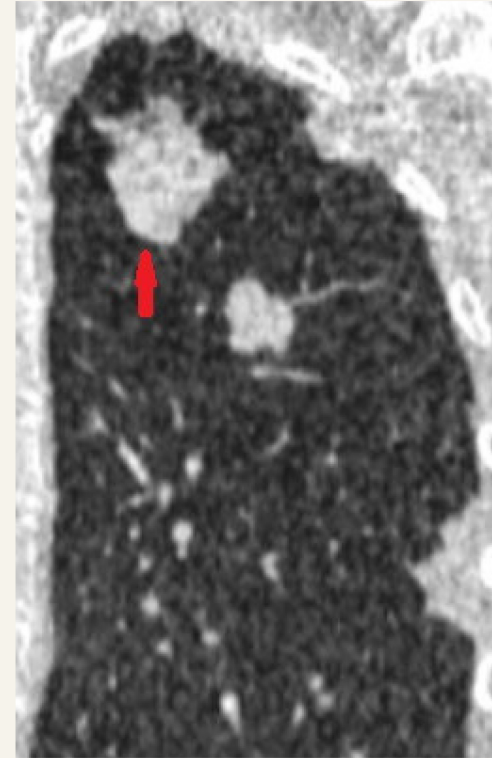
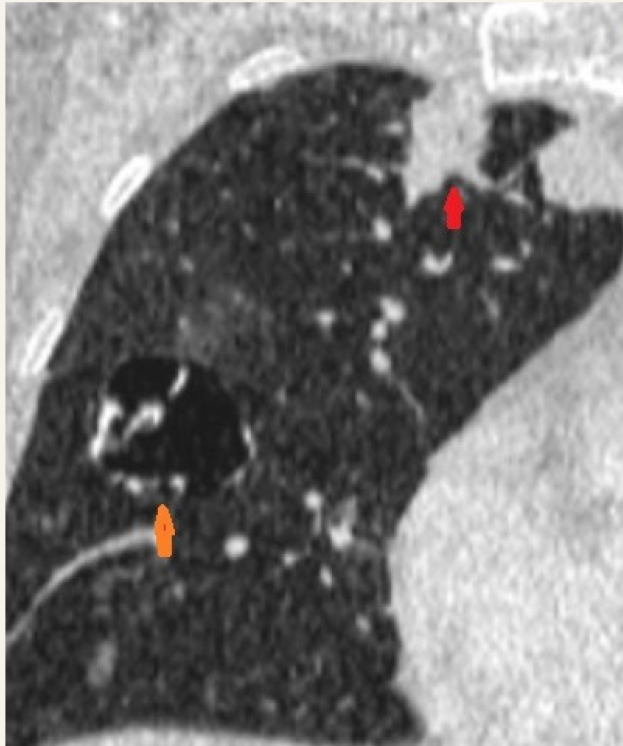
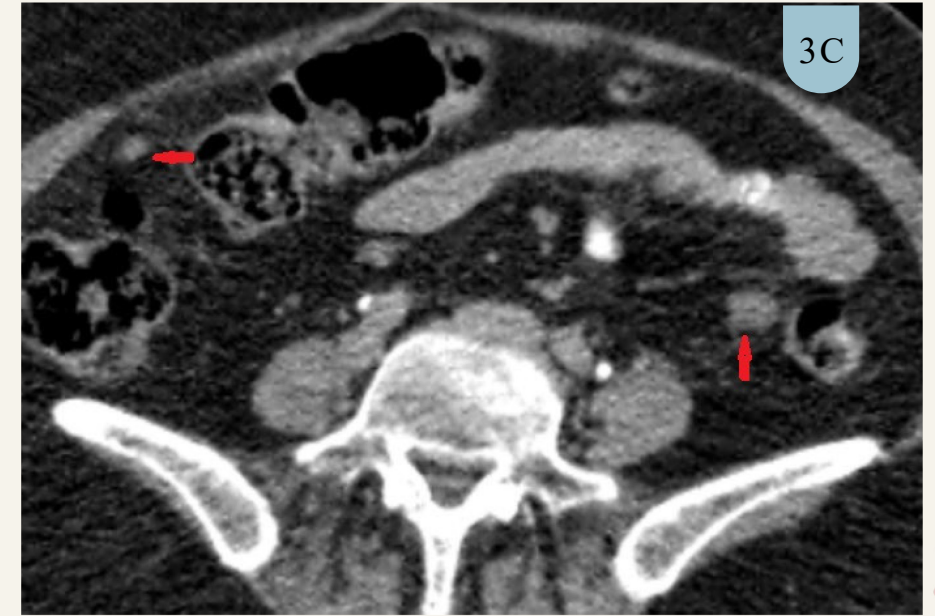
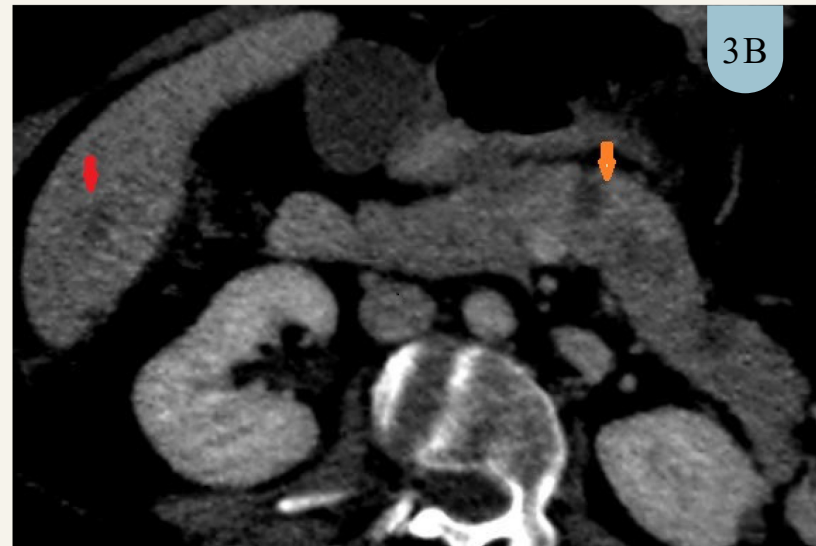
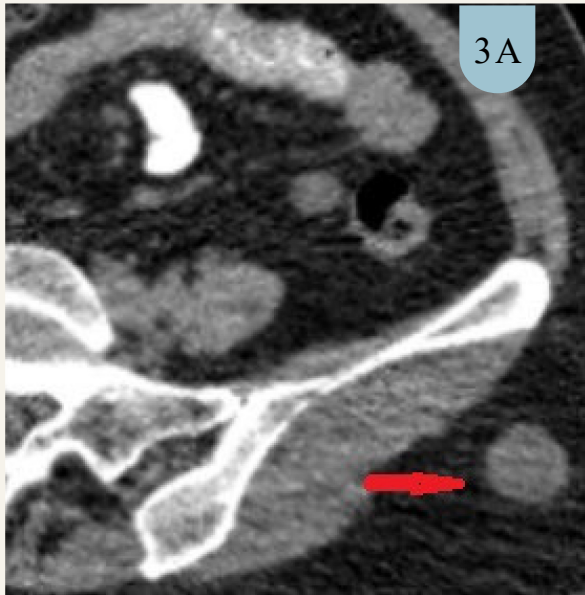


Figura 2: TC de torax sin contraste endovenoso.

Se visualizan dos formas de presentación de metástasis pulmonares, en melanoma: una única imagen nodular cavitada en lóbulo medio (flecha naranja) y múltiples imágenes nodulares de bordes irregulares y distribución aleatoria en ambos pulmones (flechas rojas).

# HALLAZGOS INFRECUENTES EN MELANOMA



## Figura 3:

**3A TC de pelvis sin contraste EV.** Se visualiza a nivel del TCS del muslo homolateral a la lesión, una imagen nodular con bordes netos y densidad de partes blandas compatible con secundarismo (flecha).

**3B TC de abdomen con contraste EV.** Múltiples imágenes nodulares hipovasculares de bordes imprecisos a predominio de cuerpo y cola pancreática (flecha naranja). Se observa además una imagen nodular hipovascular hepática compatible con metástasis hepática (flecha roja).

**3C TC de pelvis sin contraste EV con contraste oral.** Se observa a nivel del peritoneo algunas imágenes nodulares con bordes netos y densidad de partes blandas, compatibles con implantes peritoneales (flechas).

# RESUMEN DE HALLAZGOS INFRECIENTES

## METÁSTASIS EN TCS

Nódulos bien definidos con densidad de partes blandas.

## IMPLANTES PERITONEALES

Nódulos peritoneales bien definidos con densidad de partes blandas.

## METÁSTASIS PANCREÁTICAS

Imágenes nodulares hipovasculares que pueden dilatar el conducto de Wirsung.

## NÓDULO CAVITADO PULMONAR

Imagen nodular con cavitación marcada.

## CONCLUSIONES

- 1 El melanoma metastasico es sumamente agresivo y puede afectar cualquier órgano.
- 2 La TCMD es un método fundamental para detectar secundarismo y es necesario para el radiólogo conocer también metástasis infrecuentes para un tratamiento correcto.

# BIBLIOGRAFIA

1

Buzaid AC, Sandler AB, Mani S, Curtis AM, Poo WJ, Bologna JL, Ariyan S. Role of computed tomography in the staging of primary melanoma. *J Clin Oncol*. 1993 Apr;11(4):638-43. doi: 10.1200/JCO.1993.11.4.638. PMID: 8478659.

2

Alongi P, Argenziano G, Mansi L. Imaging in Melanoma Management: What's New Under the Sun? *Curr Radiopharm*. 2020;13(1):3-5. doi: 10.2174/187447101301200218111438. PMID: 32183658.

3

Fishman EK, Kuhlman JE, Schuchter LM, Miller JA 3rd, Magid D. CT of malignant melanoma in the chest, abdomen, and musculoskeletal system. *Radiographics*. 1990 Jul;10(4):603-20. doi: 10.1148/radiographics.10.4.2198632. PMID: 2198632.

4

Steger CM, Mehmeti A, Fischler N. Metastatic melanoma. *BMJ Case Rep*. 2012 Sep 4;2012:bcr0220125754. doi: 10.1136/bcr-02-2012-5754. PMID: 22949118; PMCID: PMC4542529.

5

Patten RM, Shuman WP, Teefey S. Metastases from malignant melanoma to the axial skeleton: a CT study of frequency and appearance. *AJR Am J Roentgenol* 1990; 155:109-112.

6

King DM. Imaging of metastatic melanoma. *Cancer Imaging*. 2006 Dec 22;6(1):204-8. doi: 10.1102/1470-7330.2006.0033. PMID: 17208677; PMCID: PMC1766563.

